

Compte rendu de TP

Commande articulaire d'un robot manipulateur de type RP

Aurélien Bernier Levalois, Fleytoux Yoann

21 novembre 2016

Table des matières

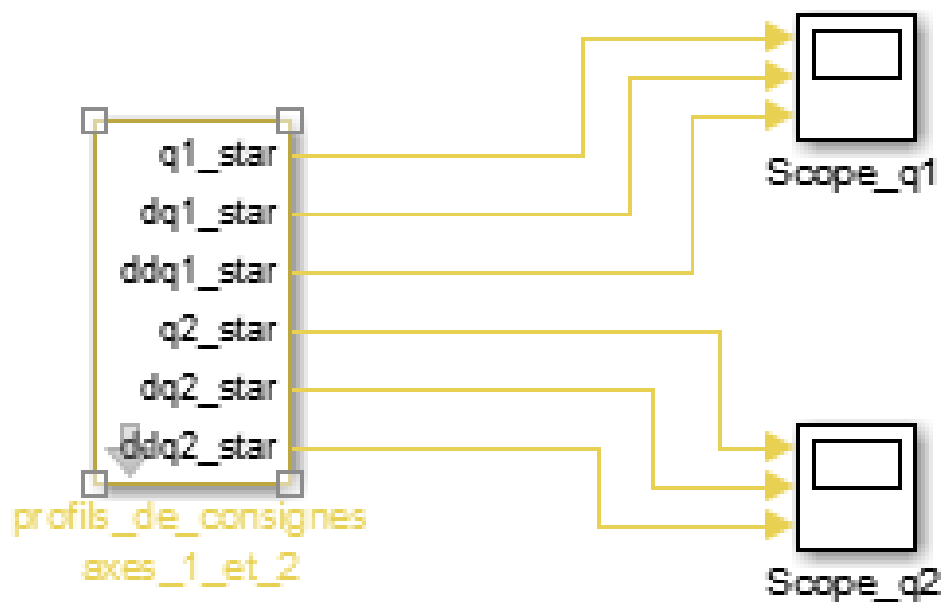
1	Travail demandé	2
1.1	Prise en main de l'outil de simulation et calculs préliminaires	2
1.2	Commande en vitesse de type PD	4
1.3	Commande en vitesse de type PD	14
1.4	Retour sur la modélisation	14
1.5	Commande non linéaire centralisée par anticipation	15
1.6	Commande non linéaire centralisée par découplage	16

1 Travail demandé

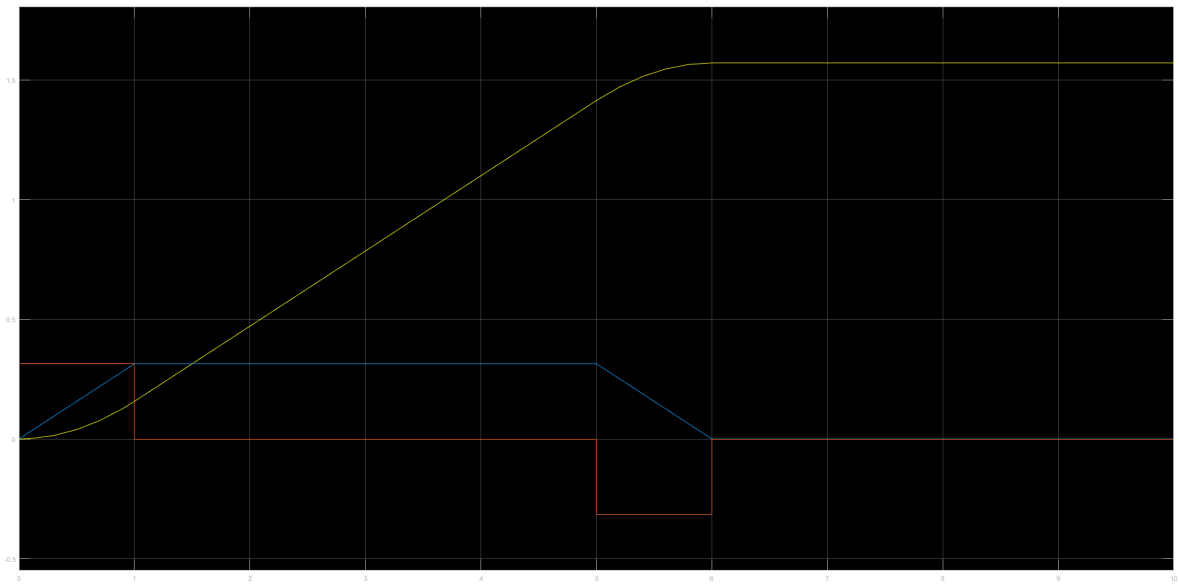
1.1 Prise en main de l'outil de simulation et calculs préliminaires

1. Relever l'évolution temporelle des profils de consigne

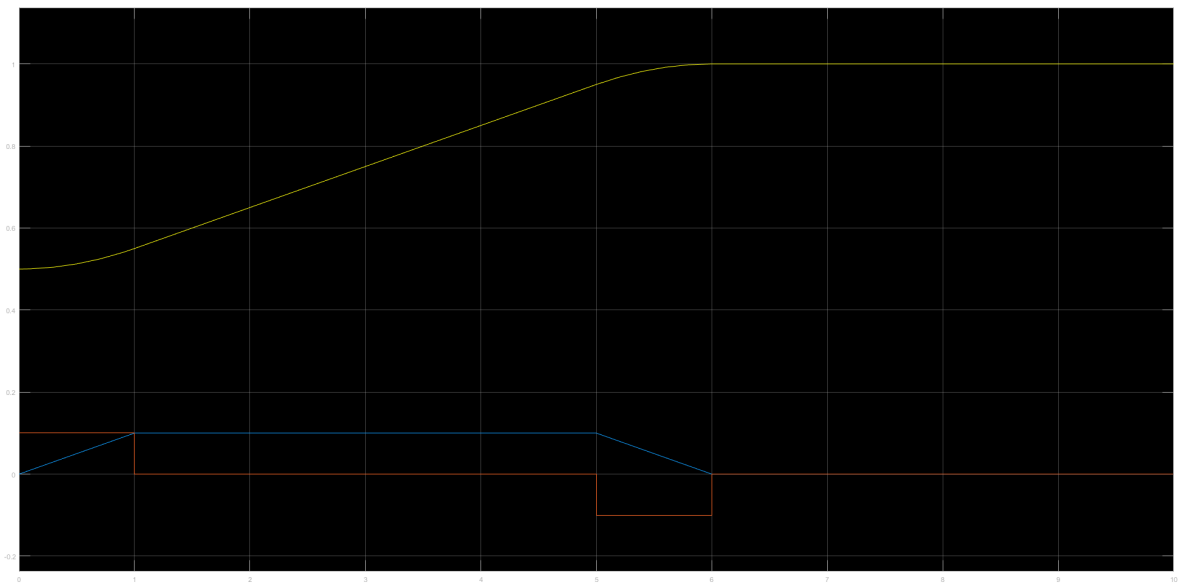
Simulink



Scope_{q1} : on peut observer le profil de position, vitesse et accélération de q1



Scope_{q2} : on peut observer le profil de position, vitesse et accélération de q2



2.

```

1
2 m=15
3
4 Km_R = 0.3;
5
6 Beff = 1/80;
7
8 Jm = 1/100;
9
10 R = [1/200 1/30 1];
11
12 Jeff200 = Jm+(R(1)^2)*m;
13 Jeff30 = Jm+R(2)^2*m;
14 Jeff1 = Jm+R(3)^2*m;

```

1.2 Commande en vitesse de type PD

3. On cherche les coefficients K et KD de la loi de commande Proportionnelle Dérivée, pour $di(t) = 0$, confère à la boucle fermée un amortissement unité $\zeta = 1$ et une erreur de vitesse $/\epsilon_1$ donnée en réponse à une consigne rampe $\theta_{mi}^*(t) = \theta_{mi}^1 t * U(t)$ avec $wn = 4$

$$K = (wn^2) * Jeff / (Km/R) = 16 * Jeff / (Km/R)$$

$$KD = ((K/2) - (Beff/(Km/R))) = (8 * Jeff - Beff) / (Km/r)$$

4.

a)

```

1 Ti = 0.8
2 zeta=1
3 wn=4
4
5 K200 =(wn^2)*Jeff200/Km_R
6 K30 =(wn^2)*Jeff30/Km_R
7 K1 =(wn^2)*Jeff1/Km_R
8
9 KD200 = ((K200/2)-(Beff/Km_R))
10 KD30 = ((K30/2)-(Beff/Km_R))
11 KD1 = ((K1/2)-(Beff/Km_R))

```

Avec $r=1/200$ $Jeff= 1/100+15/40000=0.010375$; on trouve $K=0.5533$ et $KD=0.2350$

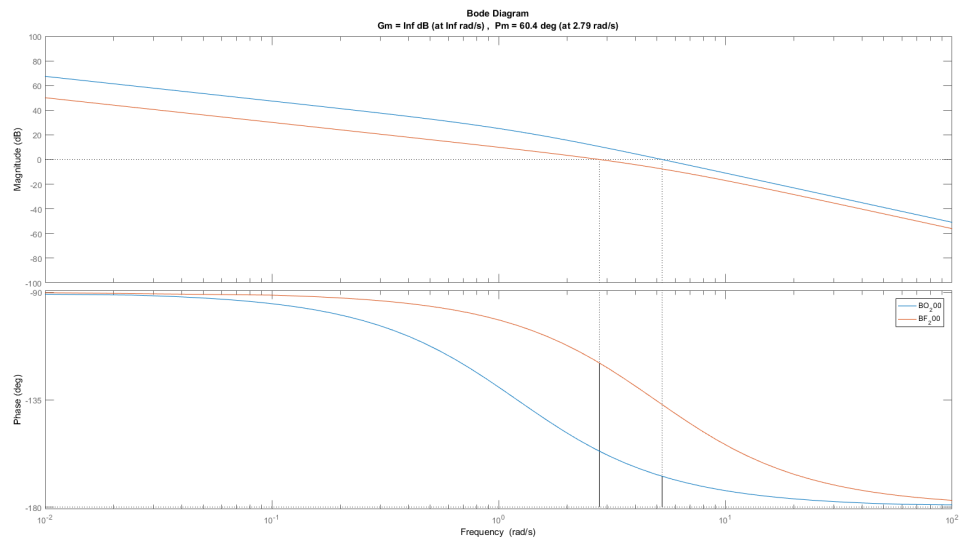
Avec $r=1/30$ $Jeff= 2/75=0.0266666666666$; on trouve $K=1.4222$ et $KD=0.6694$

Avec $r=1$ $J_{eff} = 1/100 + 15 = 15.01$; on trouve $K=800.5333$ et $KD=400.2250$

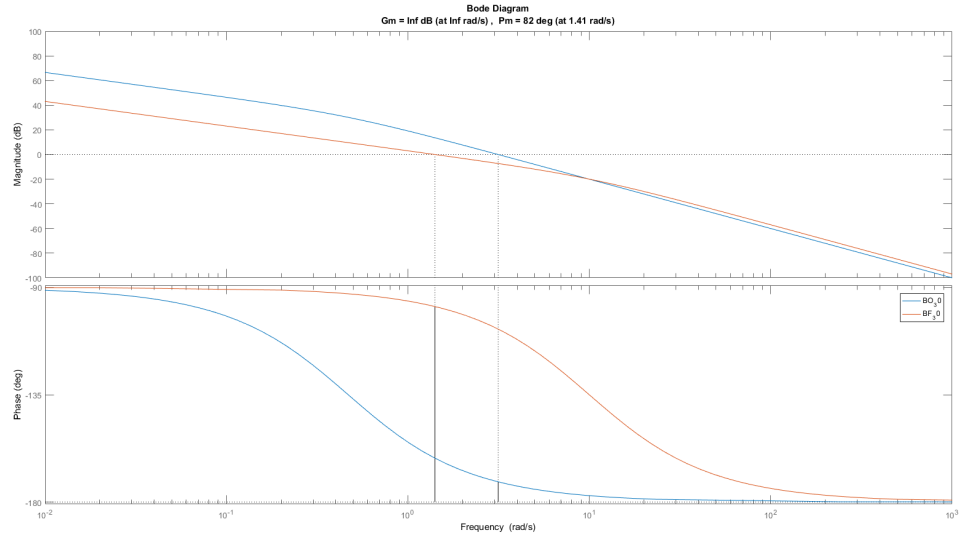
b) lieux de transfert de la boucle ouverte avant correction :

```
1 G_200=tf(1,[Jeff200 Beff 0])
2 G_30=tf(1,[Jeff30 Beff 0])
3 G_1=tf(1,[Jeff1 Beff 0])
4
5 (on suppose que d=1)
6
7 BO_200=series((Km_R-R(1)),G_200)
8 BF_200=feedback(K200*BO_200,tf([KD200 0],1))
9
10 BO_30=series((Km_R-R(2)),G_30)
11 BF_30=feedback(K30*BO_30,tf([KD30 0],1))
12
13 BO_1=series((Km_R-R(3)),G_1)
14 BF_1=feedback(K1*BO_1,tf([KD1 0],1))
15
16 margin(BO_200);
17 title('Marge de phase et marge de gain');
18 hold on;
19 margin(BF_200);
20 legend('BO_200','BF_200');
21 hold off;
22
23 figure
24 margin(BO_30);
25 title('Marge de phase et marge de gain');
26 hold on;
27 margin(BF_30);
28 legend('BO_30','BF_30');
29
30 figure
31 margin(BO_1);
32 title('Marge de phase et marge de gain');
33 hold on;
34 margin(BF_1);
35 legend('BO_1','BF_1');
```

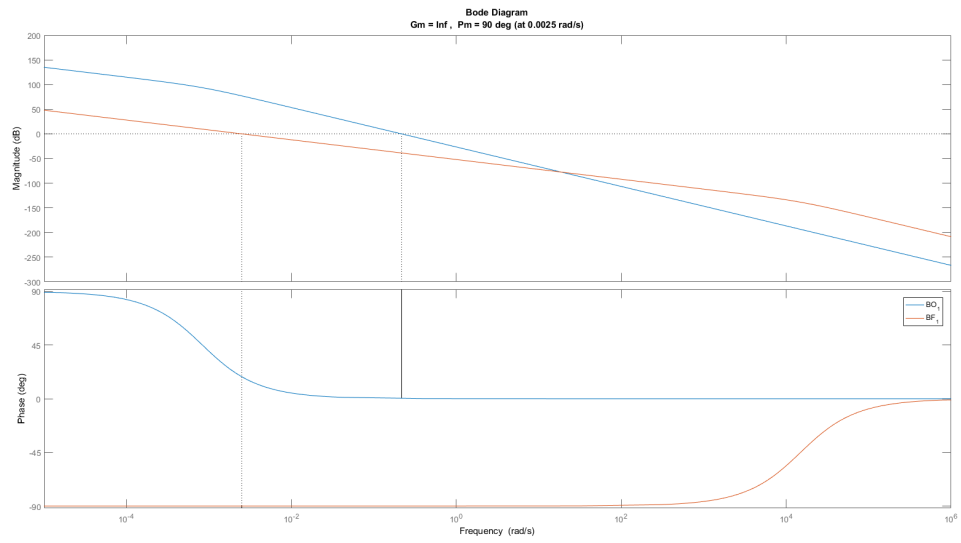
$$r = 1/200$$



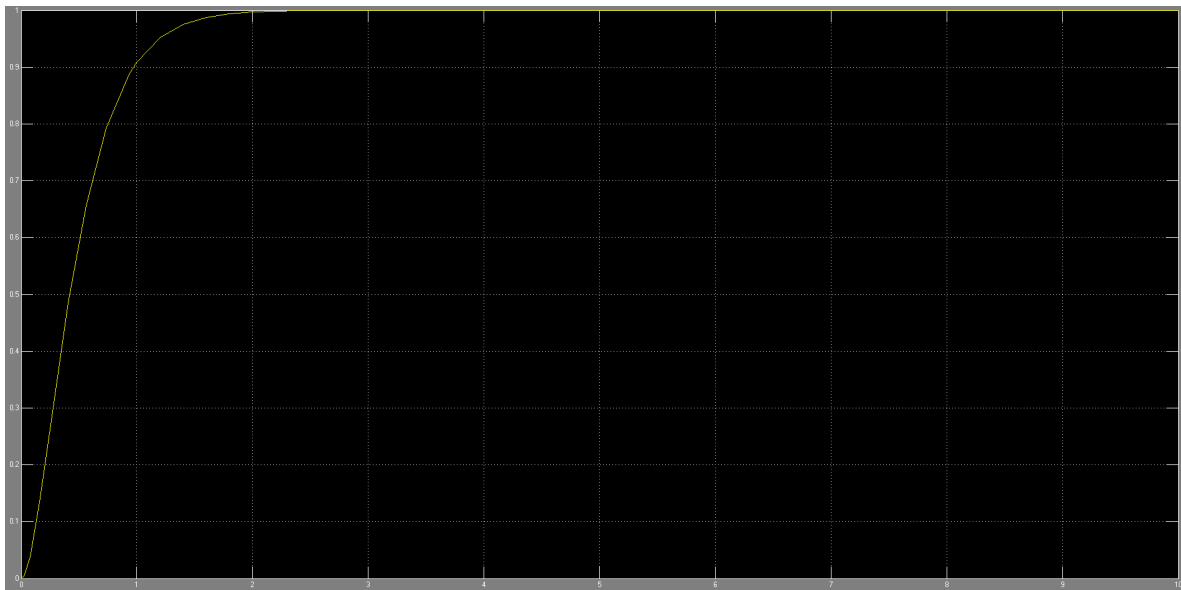
$$r = 1/30 :$$



$$r = 1$$



c) Réponses temporelles en fonction des rapports de réduction et des perturbations
r=200 sans perturbations



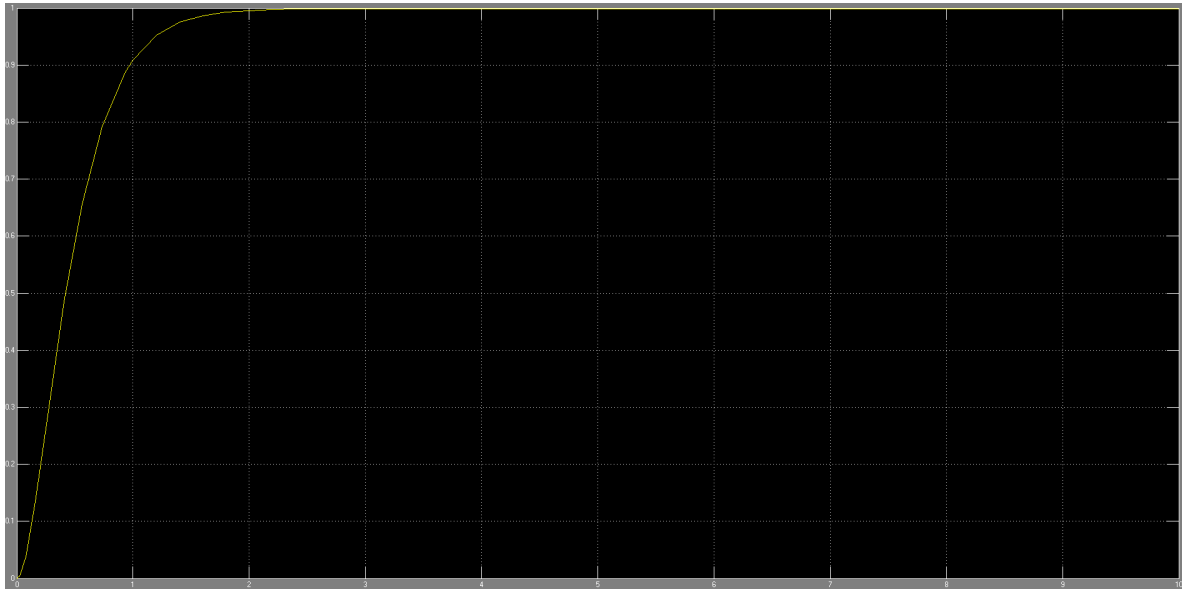
$r=30$ sans perturbations



$r=1$ sans perturbations



$r=200$ avec $rdi=10$



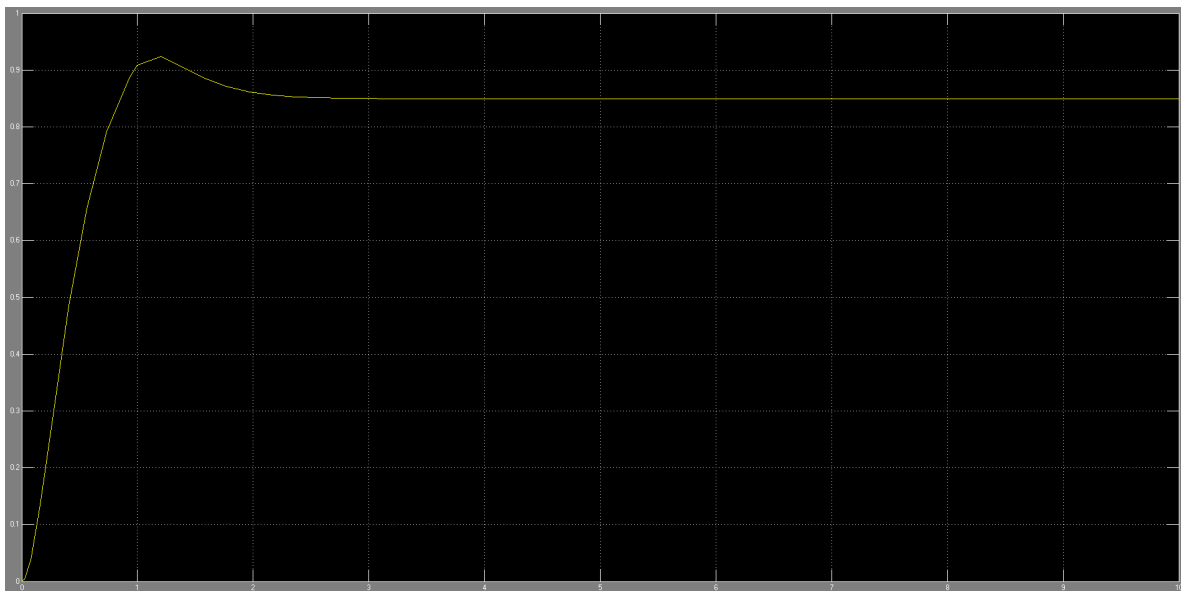
$r=30$ avec $rdi=10$



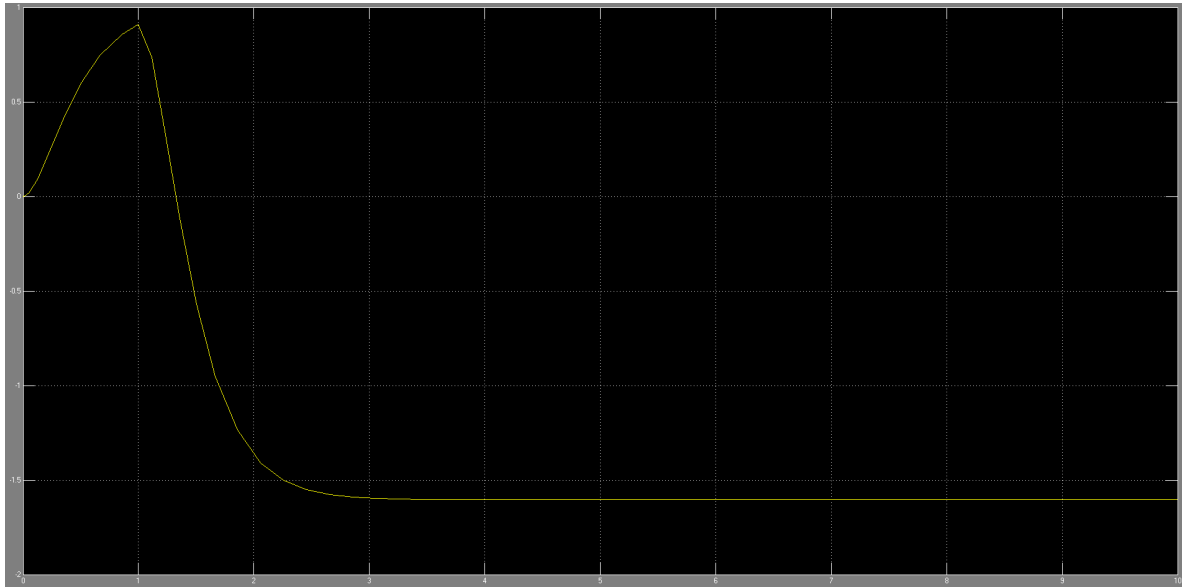
$r=1$ avec $rdi=10$



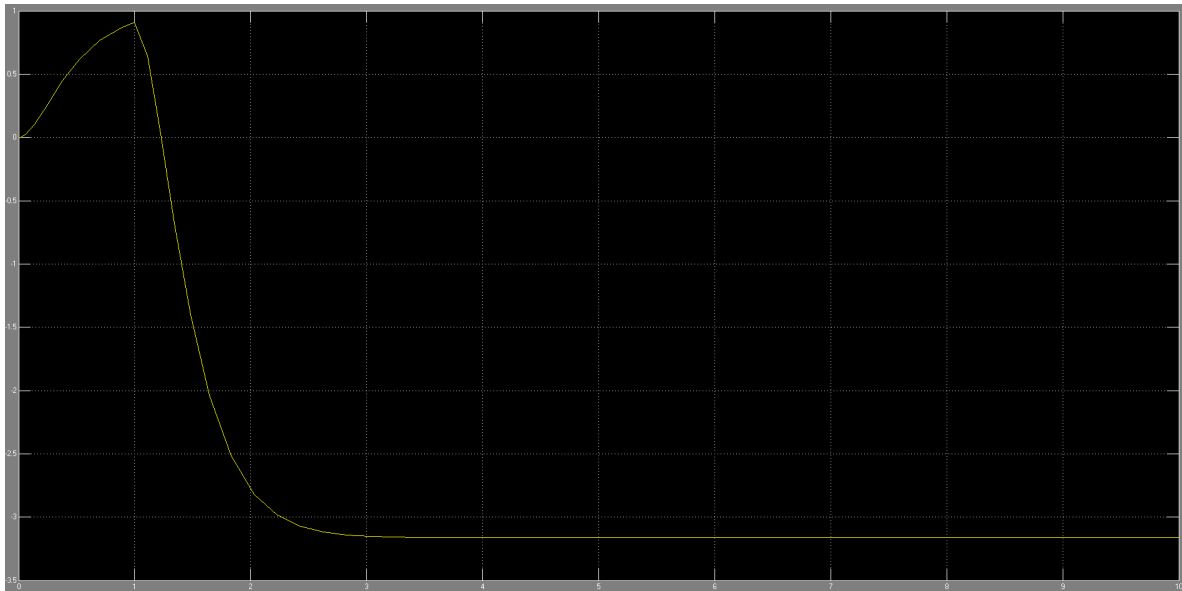
$r=200$ avec $rdi=1000$



$r=30$ avec $rdi=1000$

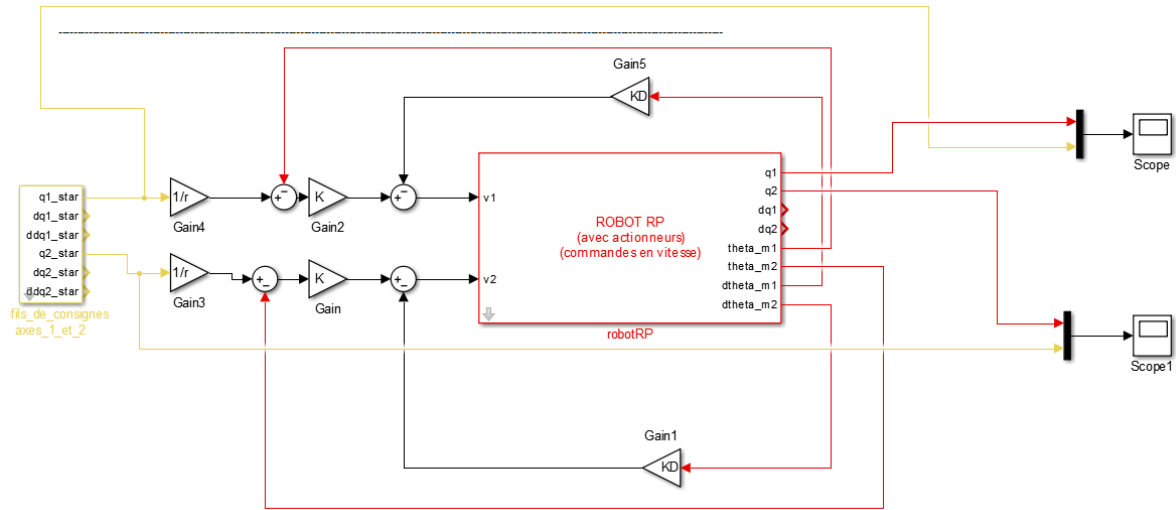


$r=1$ avec $rdi=1000$

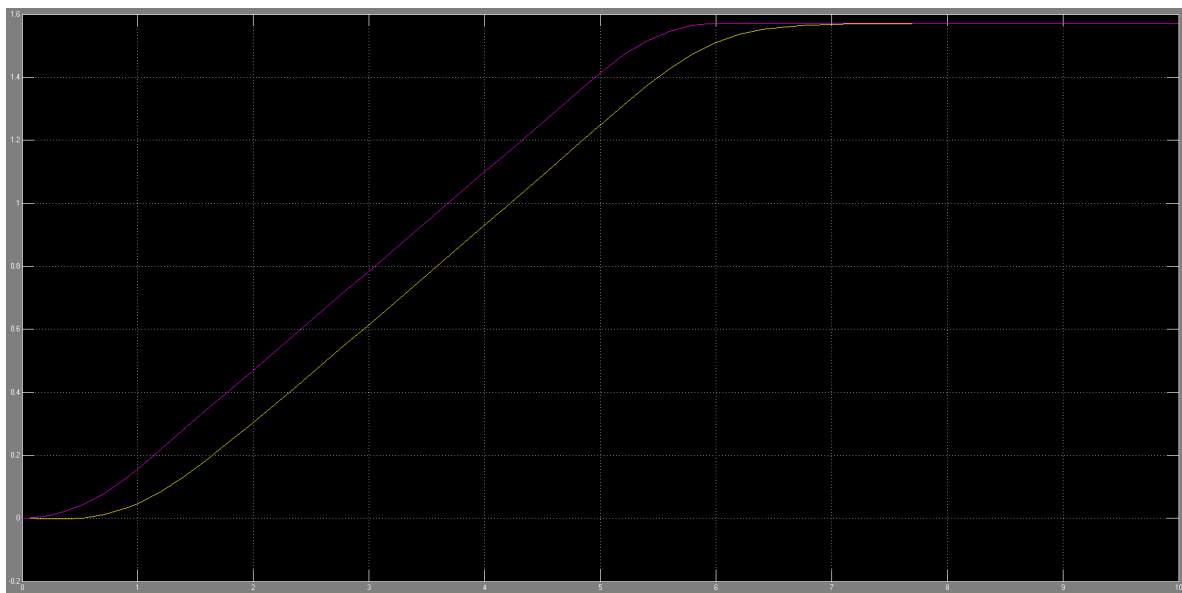


Pour conclure, on voit que l'erreur est beaucoup plus facilement compensée par un rapport de réduction petit.

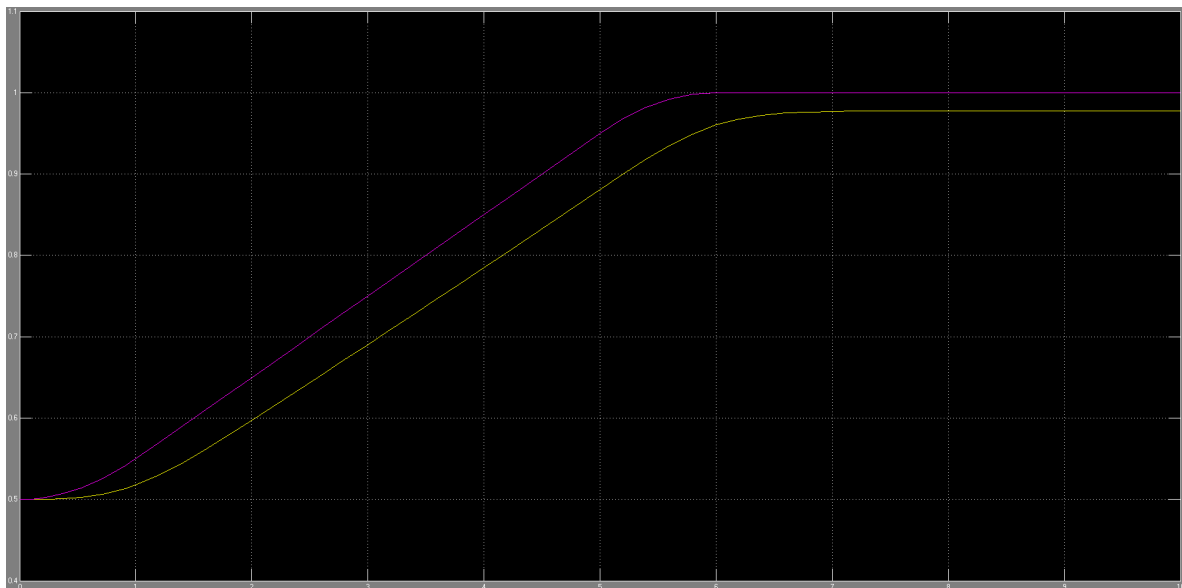
d) Comparaison avec modèle non-linéaire
Schéma simulink avec bloc robot RP



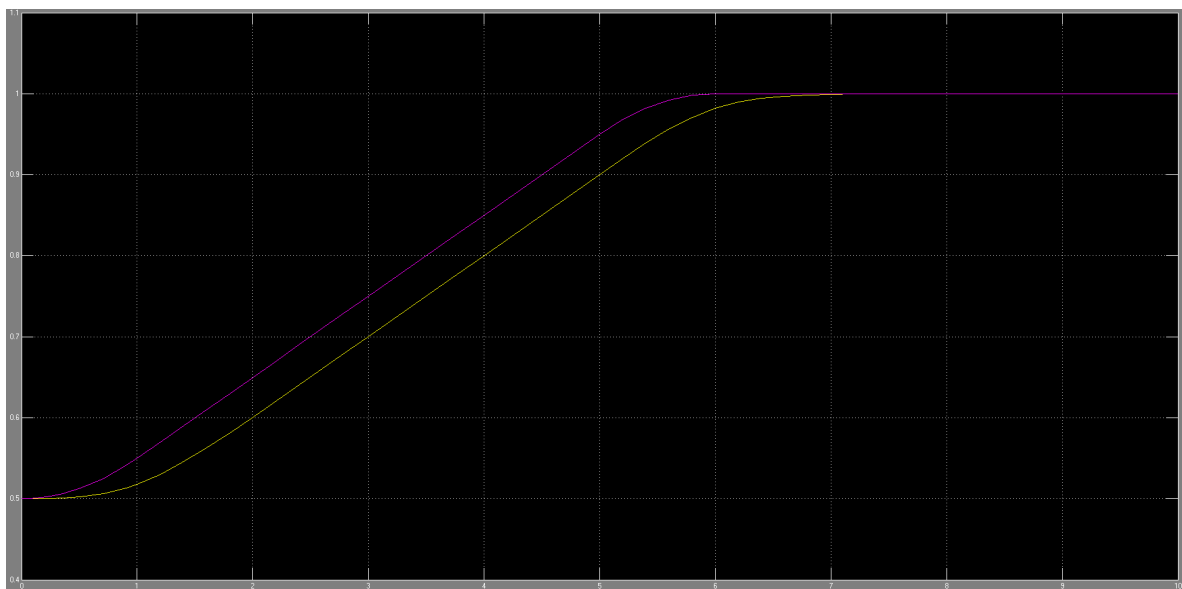
Sortie q1 comparée à l'entrée avec perturbations



Sortie q_2 comparée à l'entrée avec perturbations (présence d'erreur)



Sortie q_2 comparée à l'entrée sans perturbations



On voit que l'erreur due à la gravitation ne touche que q_2 .

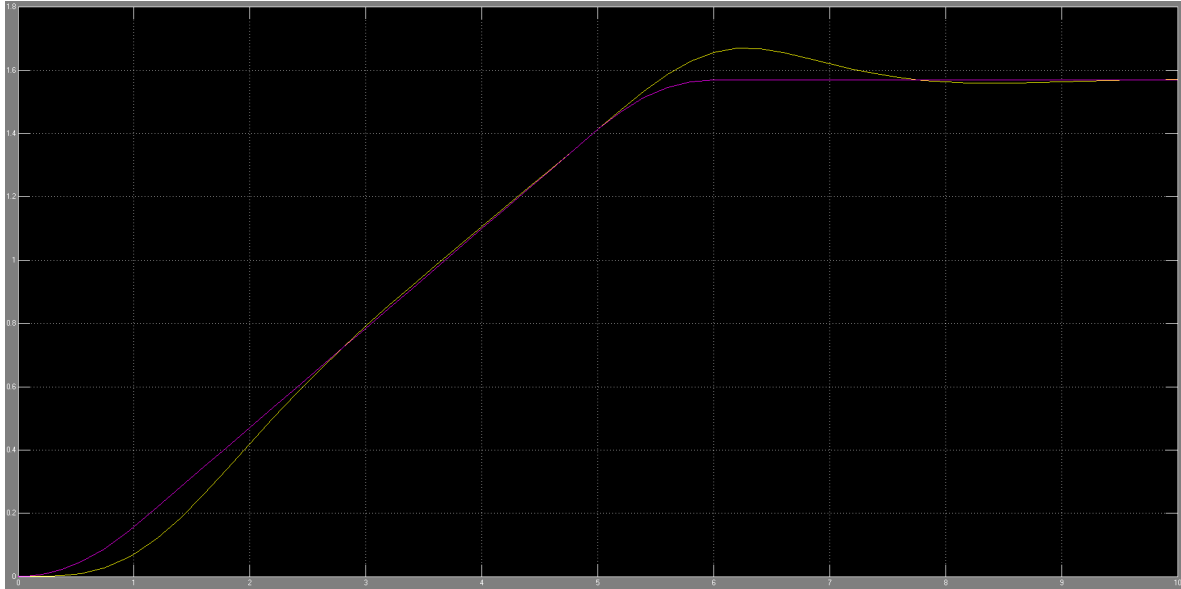
5.

On voit donc que q_2 est affecté par la gravitation mais pas q_1 . Notre modèle linéaire ne fonctionne pas avec des rapports de réductions trop grands. Le modèle non linéaire se stabilise moins vite.

1.3 Commande en vitesse de type PD

6.

On choisit $T_i = 0.8$ car la marge de phase du diagramme de Bode est de 45.1 degrés.
On obtient cette réponse :



1.4 Retour sur la modélisation

7.

8.

```
1 q2min=0.5;  
2 q2max=1;  
3 Dmin=[m*q2min^2 0; 0 m]  
4 Dmax=[m*q2max^2 0; 0 m]  
5  
6 Jeff1min=Jm+R(1)*Dmin(1,1)  
7 Jeff1max=Jm+R(1)*Dmax(1,1)  
8 Jeff2min=Jm+R(1)*Dmin(2,2)  
9 Jeff2max=Jm+R(1)*Dmax(2,2)
```

On choisit les valeurs $Jeff1min$ et $Jeff2min$, car ils représentent des systèmes avec moins d'inertie.

```

Jeff1min =

    0.0287

Jeff1max =

    0.0850

Jeff2min =

    0.0850

Jeff2max =

    0.0850

```

1.5 Commande non linéaire centralisée par anticipation

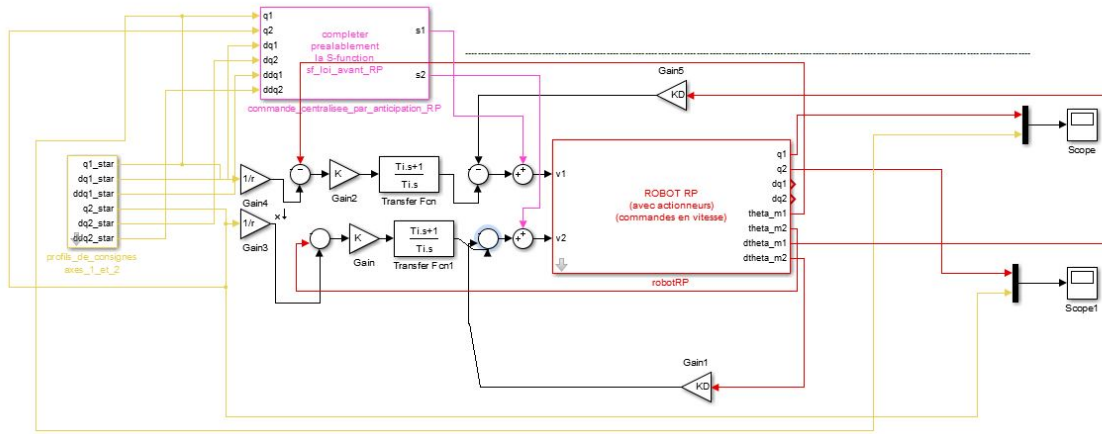
Code sf_loi_avant_rp.m

```

1 function sys = mdlOutputs(t,x,u)
2 %
3 q1 = u(1); q2 = u(2); dq1 = u(3); dq2 = u(4); ddq1 = u(5);
   ddq2 = u(6);
4 %
5 %
6 %
7
8 gy = -9.81;
9 d1 = 2*m*q2*dq1*dq2-m*q2*gy*cos(q1);
10 d2 = -m*q2*dq1*dq1-m*gy*sin(q1);
11 s1 = ddq1/r * Jeff/Km_R + dq1/r * Beff/Km_R + r*d1/Km_R;
12 s2 = ddq2/r * Jeff/Km_R + dq2/r * Beff/Km_R + r*d2/Km_R;
13 sys = [s1;s2];

```

Soit le schéma Simulink suivant :



1.6 Commande non linéaire centralisée par découplage

Code *sf_model_dyn_inverse.m*

```

1 function sys = mdlOutputs(t,x,u)
2 %
3 ddq1_star = u(1); ddq2_star = u(2);
4 q1 = u(3); q2 = u(4); dq1 = u(5); dq2 = u(6);
5 %
6 %%%%%%%%%%%%%%%%%%%%%%%%%%%%%%%%%%%%%%%%%%%%%%%%%%%%%%%%%%%%%%%%%%%%%%%%%
7 %
8
9 gy = -9.81;
10 d1 = 2*m*q2*dq1*dq2-m*q2*gy*cos(q1);
11 d2 = -m*q2*dq1*dq1-m*gy*sin(q1);
12 s1 = ddq1_star/r * Jeff/Km_R + dq1/r * Beff/Km_R + r*d1/
    Km_R;
13 s2 = ddq2_star/r * Jeff/Km_R + dq2/r * Beff/Km_R + r*d2/
    Km_R;
14 sys = [s1;s2];

```


Soit le schéma Simulink suivant (incomplet) :

